

بررسی اثر غلظت Al - آلانین به عنوان عامل پوششی بر اندازه، کیفیت ساختاری و ریختارشناسی نانو ذرات KTiOPO₄ سنتز شده به روش هم رسوی

اللهه غریب شاهیان^{*}، مجید جعفر تفرشی^۲

۱-دانشکده فنی دختران سمنان، دانشگاه فنی حرفه‌ای، سمنان، ایران

۲-دانشکده فیزیک، دانشگاه سمنان، سمنان، ایران

(دریافت مقاله: ۹۹/۱/۱۶، نسخه نهایی: ۹۹/۵/۲۲)

چکیده: نانو ذرات پتاسیم تیتانیل فسفات (KTP) یا KTP به روش هم رسوی و با استفاده از عامل پوششی Al - آلانین با نسبت‌های مولی مختلف سنتز شد. اثر غلظت عامل پوششی بر اندازه، کیفیت ساختاری و ریختار نانو ذرات KTP، بررسی گردید. پراش پرتو ایکس تشکیل ساختار اورتورومبیک در نانوذرات KTP را تایید نمود. استفاده از عامل پوششی Al - آلانین منجر به تغییر پارامترهای شبکه و چرخش شبکه بلوری شد. بزرگترین و کوچکترین اندازه دانه با استفاده از عامل پوششی با نسبت‌های مولی ۱:۱ و ۳:۱ به ترتیب برابر با ۴۶/۲ و ۳۹/۵ nm بدست آمدند. کمترین کرنش وارد بر شبکه بلوری برابر با ۰۰۰۱۲، برای نسبت مولی ۳:۱ از عامل پوششی دیده شد. کیفیت ساختاری و ریختار نانو ذرات سنتز شده به ترتیب با استفاده از طیف‌سنگی تبدیل فوریه فروسرخ (FTIR) و میکروسکوپ الکترونی روبشی نشر میدانی (FE-SEM) بررسی شدند.

واژه‌های کلیدی: نانو ذرات، پتاسیم تیتانیل فسفات، روش هم رسوی، Al - آلانین، عامل پوششی.

با بازدهی بالا [۴]، همچنین بعنوان موادی مستعد برای غشاها نانوفیلتری و کاربردهای زیستی متوجه شده است [۵]. نانوساختارهای KTP به روش‌هایی چون پچینی [۱]، سل ژل [۷]، مکانیکی-شیمیایی [۸]، احتراقی [۹] و هم رسوی ژل [۱۱] تهیه شده‌اند. روش‌های پچینی و سل ژل از جمله نخستین روش‌های مورد استفاده برای سنتز نانو ذرات KTP هستند. در این روش‌ها، محدودیت‌هایی چون زمان واکنش طولانی، حضور یون OH^- در فراورده نهایی، ناتوانایی در کنترل ریختار نانوذرات، گران بودن مواد اولیه و چند مرحله‌ای بودن واکنش‌ها وجود دارد. در مقایسه با سایر روش‌ها، هم رسوی یک روش ساده و مرسوم برای سنتز نانوذرات معدنی است که در یک محیط آبی و در یک گستره دمایی و pH انجام می‌شود و از نظر تولید تجاری و سهولت در بدست آوردن مقدار بالای فراورده یک روش شناخته شده است [۱۲]. اندازه، شکل

مقدمه
پتاسیم تیتانیل فسفات (KTP) یا KTiOPO₄ یک بلور نوری غیرخطی عالی است. این بلور به طور عمده برای دو برابر کردن پسامد لیزر Nd:YAG استفاده می‌شود. این ماده دارای ویژگی‌های با ارزشی از جمله پایداری گرمایی بالا، مشخصه‌های مکانیکی خوب، عبوردهی در گستره وسیعی از طول موج‌ها، ضربیغ غیر خطی بزرگ، آستانه آسیب لیزرنی بالا و پذیرش زاویه‌ای گستره است که آن را ماده‌ای مناسب برای لیزرهای صنعتی و پیشکشی و کاربردهای دیگر ساخته است [۲،۱]. به دلیل ویژگی‌های جالب مواد در مقیاس نانو که متمایز از حالت توده‌ای است، بررسی‌های بنیادی بسیاری در پیرامون اثر اندازه و محدودیت کوانتومی بر ویژگی‌ها و کاربردهای مواد نانومتری انجام شده است [۳]. در سال‌های اخیر، توجه دانشمندان بر ساخت نانوساختارهای KTP برای تولید هماهنگ مرتبه دوم

هیدروژن فسفات به آرامی به اين محلول اضافه گردید. نسبت مولی KH_2PO_4 به یون TiO^{2+} برایر با واحد در نظر گرفته شد. برای برسی اثر عامل پوششی، آلآلین با نسبت‌های مولی مختلف ۱:۱، ۲:۱ و ۳:۱ به محلول اضافه گردید و محلول pH برای رسیدن به یکنواختی کامل با سرعت بالا هم زده شد. محلول با استفاده از $\text{HCl}(6N)$ و K_2CO_3 بر ۵-۶ تنظیم گردید و رسوب سفید رنگی بدست آمد که برای از بین رفتن یون‌های ناخالصی کلراید چند بار با آب دیونیزه شسته شد و سرانجام در دمای 100°C خشک گردید. پودر اولیه بدست آمده آمورف (بي شكل) بود که پس از چند ساعت کلسینیه در دمای 700°C ، ساختارهای نانوبلوری KTP بدست آمدند. ويژگی‌های نانوذرات سنتز شده بدون و با استفاده از عامل پوششی در جدول ۱ آورده شده است.

نتایج و بحث

بررسی ويژگی‌های ساختاری

شکل ۱ طیف پراش پرتو ایکس نانوذرات KTiOPO_4 سنتز شده به روش هم رسوی بدون استفاده از عامل پوششی و نیز با نسبت‌های مولی مختلف از عامل پوششی آل-آلین را نشان می‌دهد.

همه طیفها تشکیل ساختار KTiOPO_4 با فاز اورتورومبیک را تایید می‌کنند. چنان که در جدول ۱ دیده می‌شود، استفاده از عامل پوششی آل-آلین منجر به چرخش شبکه بلوری و تغییر ثابت‌های شبکه شده است. راستهای بلوری غالب در نانو ذرات سنتز شده بدون استفاده از عامل پوششی [۳۰۱] و [۲۴۰] و با حضور عامل پوششی آل-آلین [۲۳۰] و [۴۱۱] بودند.

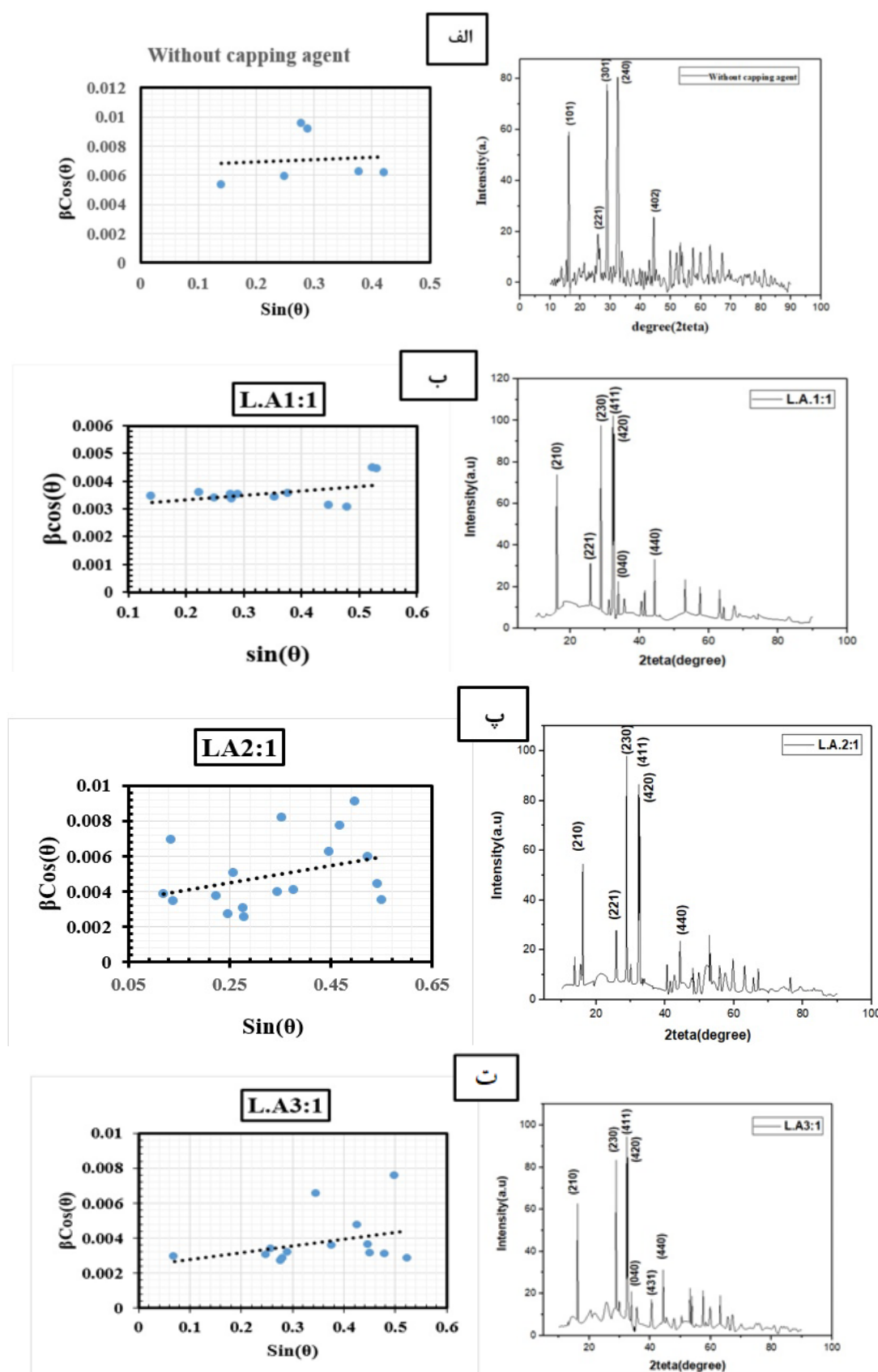
ويژگی‌های نانوذرات بسيار متاثر از شرایط سنتز از جمله pH غلظت، دما و سرعت هم زدن است، بنابراین با کنترل پارامترهای سنتز می‌توان به نانوذراتی با ويژگی‌های دلخواه دست یافت [۱۳-۱۵]. در تهیه نانوبلورها از محلول و به روش همرسوی، انتخاب عامل پوششی از اهمیت بالایی برخوردار است، زیرا جذب این عامل‌ها بر سطح نانوبلور نقش مهمی در کنترل اندازه نانوذرات و جلوگیری از کلوجه شدن آنها دارد. در این پژوهش، نانوذرات KTP به روش هم رسوی و با استفاده از آل-آلین به عنوان عامل پوششی سنتز شدند. آل-آلین از اسیدهای آمینه با فرمول شیمیایی $\text{H}_3\text{CH}(\text{NH}_2)\text{COOH}$ و یک عامل پوششی آلی زیست سازگار [۱۶] و ارزان بوده که در طبیعت به وفور قابل دسترس است و پایداری بالایی دارد [۱۴-۱۷]. آل-آلین با داشتن تنها یک گروه متیل (-CH₃) متصل به کربن ساده‌ترین اسید آمینه از نظر ساختار مولکولی بوده که در آن، گروه متیل غیر فعال است و گروه آمینو یک جفت الکترون برای تشکیل پیوند دارد و قادر به تشکیل پیوندهای هیدروژنی است [۱۷]. بررسی‌های انجام شده در سال های اخیر نشان می‌دهد که سنتز نانوذرات در حضور این لیگاند منجر به بهبود ويژگی‌های نوری آن می‌شود [۱۴]. کیفیت ساختاری نانوذرات KTP سنتز شده با استفاده از عامل پوششی آل-آلین توسط پراش پرتو ایکس (XRD) و طیف-سنجدی تبدیل فوریه فروسرخ (FT-IR) بررسی شد. ریخت-شناسی، اندازه و توزیع اندازه نانوذرات KTP با میکروسکوپ الکترونی رویشی نشر میدانی (FE-SEM) بررسی شدند.

روش تجربی

نخست $\text{HCl}(6N)$ به پودر سفید رنگ Ti(OH)_4 اضافه شد و محلول شیری رنگ بدست آمد. سپس محلول آبی پتابسیم دی

جدول ۱ مشخصات نانو ذرات KTP سنتز شده به روش هم رسوی.

راستای بلوری غالب	(nm)	اندازه نانو ذرات (nm)	اندازه دانه با استفاده از روش شر (nm)	اندازه دانه با استفاده از روش ویلیامسون-هال (nm)	کرنش شبکه	پارامترهای شبکه			نمونه ها
						a	b	c	
[۳۰۱] و [۲۴۰]	۹۰		۳۹,۴۹	۳۹,۴۲	۰,۰۰۰۱	۱۰	۱۲	۶	بدون استفاده از عامل پوششی
[۴۱۱] و [۲۳۰]	۱۰۰		۶۹,۰۰	$۴۶,۲ \pm ۰,۰۲$	۰,۰۰۱۵	۱۲	۱۰	۶	L.A1:۱
[۲۳۰] و [۴۱۱]	۸۰		۴۷,۱۰	$۴۰,۵۴ \pm ۰,۰۶$	۰,۰۰۱۵	۱۲	۱۰	۶	L.A2:۱
[۴۱۱] و [۲۳۰] و [۴۲۰]	۷۵		۴۵,۰۹	$۳۹,۵ \pm ۰,۰۲$	۰,۰۰۱۲	۱۲	۱۰	۶	L.A3:۱



شکل ۱ طیف پراش پرتو ایکس و منحنی ویلیامسون هال برای نانو ذرات سنتز شده (الف) بدون استفاده از عامل پوششی و با استفاده از عامل پوششی با نسبت مولی (ب) ۱:۱، (پ) ۲:۱ و (ت) ۳:۱.

دارای قلهای در $1124\text{, }1100\text{, }1048\text{ cm}^{-1}$ و 964 cm^{-1} هستند [۲۰]. پیوندهای تقارنی TiO_4 و نامتقارن PO_4 در ساختار KTP اشاره دارند. سه قله در $712\text{, }785\text{, }820\text{ cm}^{-1}$ ناشی از نوسان‌های Ti-O در ساختار هشت وجهی تغییر شکل یافته TiO_6 هستند. سایر قله‌ها در گستره 350 cm^{-1} تا 660 cm^{-1} به شکافت پیوندهای تبھنگ PO_4 نسبت داده می‌شوند. طیف اثرهای تقارنی کمتری را برای نوسان‌های مولکولی داخلی گروه PO_4 آشکار می‌کند که نشان دهنده ساختار چهاروجهی برای یون‌های فسفات است [۲۰]. طیفهای بدست آمده قله‌های مشخصه KTP را بخوبی نشان داده و تشکیل ساختار را تایید می‌کنند.

پیوندهای کششی نامتقارن گروه COO در ترکیب ال-آلانین نزدیک به 1595 cm^{-1} آشکار می‌شوند [۱۹]. این قله‌ها در طیف FTIR نمونه‌های بدست آمده با استفاده از ال-آلانین به عنوان عامل پوششی، به علت همیستگی اسید امینه با نانو ذرات KTP، از جایگاه طبیعی خود جا به جا شده و در گستره $1647\text{-}1640\text{ cm}^{-1}$ دیده می‌شوند. بطور کلی، این قله‌ها در طیف بدست آمده از نمونه‌ها شدت چندانی، نداشتند و فقط نسبت مولی $1:3$ قله جذب مشهودی را نشان داد. قله دیده شده در 1403 cm^{-1} به مدهای خمثی C-H در این نمونه‌ها اشاره دارد. شدت این قله در نمونه‌های سنتز شده با نسبت مولی بالاتر، بیشتر است. قله جذب پیوندهای کششی C-N در طیف FT-IR اسیدهای امینه در گستره 1340 cm^{-1} دیده می‌شود [۲۱]. هم پوشی این گستره طیفی با گستره مربوط به مدهای نوسانی PO_4 در ساختار KTP منجر به تضعیف مدهای کششی متقارن و نامتقارن PO_4 در طیف ثبت شده برای نانوذرات سنتز شده با استفاده از ال-آلانین می‌شود [۱۹]. این کاهش شدت به ویژه برای قله‌های $1100\text{, }1125\text{ cm}^{-1}$ در نسبت‌های مولی $1:1$ و $2:1$ ، کاملاً مشهود است. قله‌های ناخالصی در گستره $3500\text{-}3100\text{ cm}^{-1}$ به مدهای کششی N-H باقیمانده بر سطح نانوذرات KTP که بطور کامل با کلسینه‌شدن حذف نشده‌اند نسبت داده می‌شوند [۱۹, ۲۲]. شدت این قله‌ها و پهنهای آنها با افزایش نسبت عامل پوششی افزایش می‌یابد.

چنان که در شکل ۳ دیده می‌شود استفاده از عامل پوششی ال-آلانین منجر به جایگایی قله‌های جذب نشده است، اما در نسبت مولی $2:1$ قله‌های جذب مربوط به مدهای کششی و خمثی ساختار KTP به شدت تضعیف شده‌اند. استفاده از این عامل با نسبت $1:1$ ، بر قله‌های مربوط به نوسان‌های کششی در ساختارهای TiO_6 و PO_4 اثر داشته است.

میانگین اندازه دانه در پودرهای تولید شده براساس پهنهای قله‌های پراشی و با استفاده از روابط ویلیامسون - هال^۱ (رابطه ۱) و شرر^۲ (رابطه ۲) بدست آمد [۱۸]:

$$\beta \cos \theta = \frac{k\lambda}{D} + 4\varepsilon \sin \theta \quad (1)$$

$$D = \frac{K\lambda}{\beta \cos(\theta)} \quad (2)$$

در روابط بالا، D اندازه بلورک، λ طول موج پروتو (۱۵۴۰۵ Å)، K یک مقدار ثابت (۰,۹)، β پهنهای قله در نیمه ارتفاع بیشینه آن، ε کرنش شبکه و θ زاویه برآگ هستند.

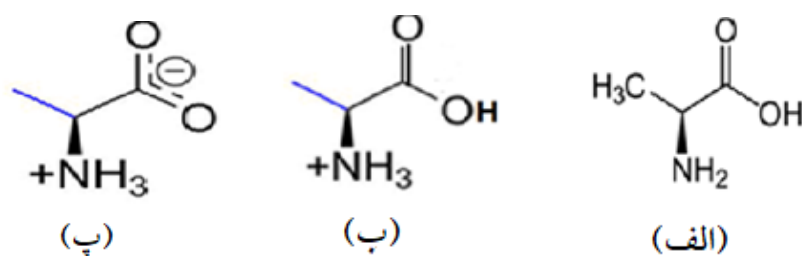
مولکول‌های ال-آلانین، آمفوتور آبگریز هستند. با اضافه کردن این عامل پوششی به محیط اسیدی اولیه، بیشتر این مولکول‌ها به صورت شکل ۲ ب در محلول واکنش حضور خواهند داشت. اما با نزدیک شدن pH محلول به pH سنتز که نقطه ایزووالکتریک این ماده آمفوتور نیز هست، بیشتر مولکول‌ها دو سر مثبت و منفی خواهند داشت (شکل ۲ پ) که می‌توانند با هم تشکیل زنجیره آمینی داده و رشد هسته را کنترل نمایند. بنابراین انتظار می‌رود که افزایش غلظت مولکول‌های ال-آلانین احتمال محدود شدن رشد هسته اولیه را افزایش داده و اندازه دانه کوچک شود. چنان که در جدول ۱ دیده می‌شود نتایج بدست آمده از روابط شرر و ویلیامسون هال افزایش ناگهانی اندازه دانه با استفاده از عامل پوششی در نسبت مولی $1:1$ را نشان می‌دهند. قانون تکامل اوستوالد^۳ [۱۴] بیان می‌کند که هسته‌های اولیه تشکیل شده به دلیل انرژی سطح بالا واحدهای رشد را جذب کرده و بنابراین اندازه هسته اولیه افزایش می‌یابد. جذب واحدهای رشد به هسته اولیه و دافعه بین گروههای مตیل که مانع از پوشش کامل سطح توسط مولکول‌های ال-آلانین می‌گردد [۱۹]، منجر به افزایش اندازه دانه در نسبت مولی $1:1$ می‌شود. با افزایش نسبت مولی و تشکیل زنجیره‌های ال-آلانین در نقطه ایزووالکتریک، احتمال پوشش سطح توسط زنجیره مولکولی ال-آلانین و کنترل رشد هسته اولیه افزایش یافته و اندازه دانه کاهش می‌یابد. چنان که در جدول ۱ دیده می‌شود، نسبت مولی $3:1$ کمترین کرنش شبکه بلوری را دارد و اندازه دانه در این نسبت مولی تغییر قابل ملاحظه‌ای را نشان نمی‌دهد. بنابراین، افزایش طول زنجیره ال-آلانین در نسبت مولی $3:1$ تنها در کاهش تنش وارد بر شبکه بلوری موثر است. شکل ۳ طیف تبدیل فوریه فروسرخ نمونه‌های بدست آمده بدون استفاده از عامل پوششی و با استفاده از عامل پوششی ال-آلانین با نسبت‌های مولی مختلف $(1:1, 2:1, 3:1)$ را نشان می‌دهد. جکو^۴ در سال ۱۹۸۶ نشان داد که پیوندهای TiO_4 و PO_4 در سال ۱۹۸۶ نشان داد که پیوندهای

1- Williamson Hall

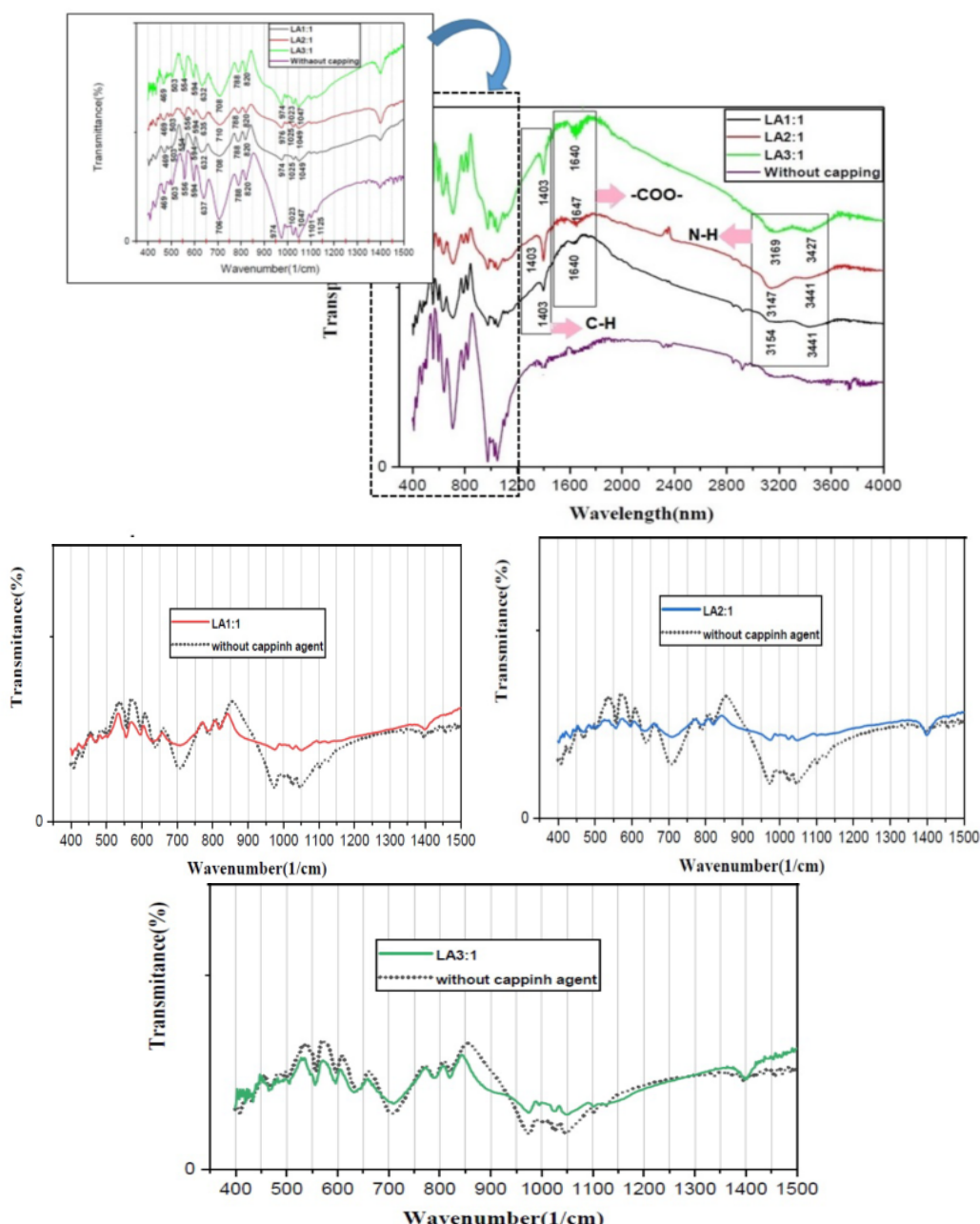
2- Scherrer

3- Ostwald ripening

4- Jacco



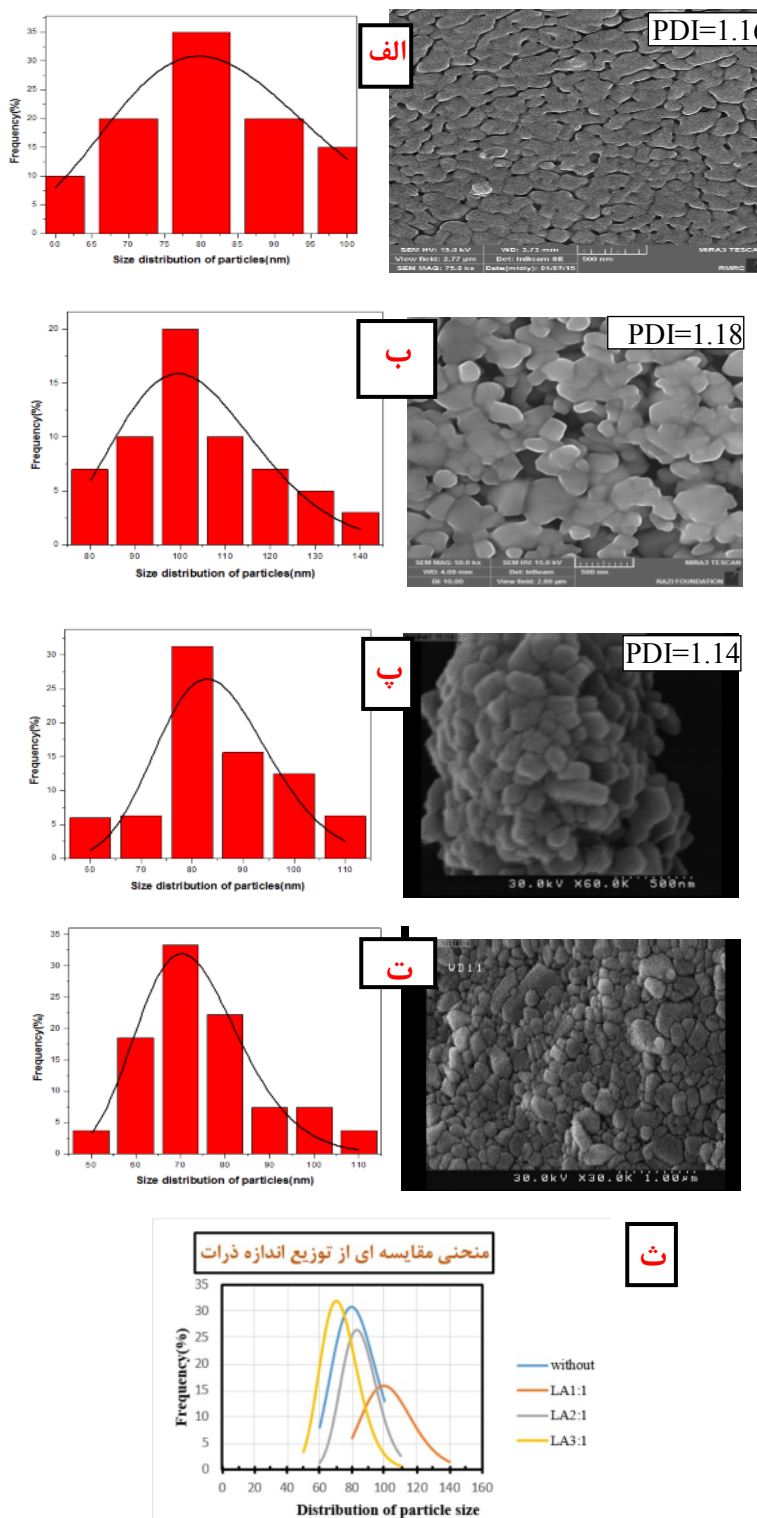
شکل ۲ طرحواره‌ای از ساختار فضایی عامل پوششی ال - آلانین : (الف) شکل طبیعی مولکول، (ب) شکل مولکول در محیط اسیدی، (پ) شکل مولکول در نقطه ایزوکتریک.



شکل ۳ طیف‌های تبدیل فوریه فروسرخ نانو ذرات سنتز شده بدون استفاده از عامل پوششی و با استفاده از عامل پوششی ال - آلانین با نسبت های مولی مختلف.

ذرات و منحنی توزیع اندازه ذرات برای نمونه‌های تولید شده با شرایط مختلف با استفاده از نرم‌افزار J-image

بررسی ویژگی‌های ریزساختاری تصاویر FE-SEM نانوذرات سنتز شده به همراه منحنی توزیع اندازه ذرات آنها در شکل ۴ آورده شده است. میانگین اندازه نانو



شکل ۴ تصاویر FE-SEM و نمودار توزیع اندازه ذرات برای نانو ذرات KTP سنتز شده (الف) بدون استفاده از عامل پوششی و با استفاده از عامل پوششی ال-آلائین با نسبت‌های مولی (ب)، (پ)، (ت)، (ت)، (پ)، (ث) منحنی مقایسه‌ای از توزیع اندازه ذرات.

مراجع

- [1] Malekfar R., Ahmadi G., Cheraghi A., Rohollahnejad J., Sahraiyan F., Khanzadeh M., "Micro-Raman scattering of KTP ($KTiOPO_4$) nanocrystallites synthesized by modified sol-gel Pechini method", *Acta Physica Polonica A*;(2009)51: 308–312.
- [2] Gharibshahian E., Jafar Tafreshi M., fazli M., "Growth of $KTiOPO_4$ crystals by flux technique and their characterization", *Indian J. Pure & Ap. Phy*;(2009)47:356-361.
- [3] Blessi S., Maria Lumina Sonia M., Vijayalakshmi S., Pauline S., "Preparation and characterization of SnO_2 nanoparticles by hydrothermal method", *International Journal of ChemTech Research*, No.3, (2014), 16: 2153-2155
- [4] Xuan L.L., Chauvat D., Slablab A., Roch J. R., " $KTiOPO_4$ Single Nanocrystal for Second-Harmonic Generation Microscopy", "Nanocrystals", Yoshitake Masuda (Ed.), (2010), ISBN: 978-953-307-126-8
- [5] Abrabri M., Larbot A., Persin M., Sarrazin J., Rafiq M., Cot L., "Potassium titanyl phosphate membranes : Surface properties and application to ionic solution filtration", *J Membr Sci Technol*;(1975) 39: 275-283
- [6] Thuy D., Nguyen T., Lai N.D., "Deterministic Insertion of KTP Nanoparticles into Polymeric Structures for Efficient Second-Harmonic Generation", *Crystals*; (2019) 9, 365; doi:10.3390/crust9070365
- [7] Christophe J. B., Mark A. H., George W.S., "Sol-Gel synthesis of Potassium Titanyl Phosphate: Solution Chemistry and Gelation", *J. Sol-Gel Sci. Technol.*;(1997)9: 183-199.
- [8] Kanno Y., "Synthesis and sintering of $KTiOPO_4$ via mechanochemical mixing route", *J ALLOY COMPD*; (1994) 210: 45-50.
- [9] Arul Dhas N., Patil K.C., "Synthesis of $AlPO_4$, $LaPO_4$ and $KTiOPO_4$ by flash combustion", *J ALLOY COMPD*;(1993) 202: 137-141.
- [10] Kanti Biswas S., Pathak A., Pramanik P., "Synthesis of Nanocrystalline $KTiOPO_4$ Powder by Method", *J Am Ceram Soc.* ;(2007) 90:1071-1076.
- [11] Gharibshahian E., Jafar Tafershi M., Fazli M., "Effects of solution concentration and capping agents on the properties of potassium titanyl phosphate nanoparticles synthesized using a co-

شاخص پراکندگی اندازه نانوذرات (PDI) توسط J image و براساس روابط زیر محاسبه شد [۲۳]:

$$D_n = \frac{\sum d_i}{n} \quad (3)$$

$$D_w = \frac{\sum (d_i)^4}{\sum (d_i)^2} \quad (4)$$

$$PDI = \frac{D_w}{D_n} \quad (5)$$

در این روابط، n تعداد نانوذرات و d_i قطر آنهاست.

چنان که در شکل ۴ دیده می‌شود، با افزودن عامل پوششی با نسبت مولی ۱:۱، PDI و اندازه ذره افزایش می‌یابد، ولی با افزایش بیشتر نسبت مولی تا ۳:۱، هر دوی این کمیت‌ها روند کاهشی داشتند، زیرا افزایش غلظت ال-آلائین بخوبی از کلوخه شدن نانوذرات جلوگیری می‌کند. نمودار مقایسه‌ای از منحنی‌های توزیع اندازه ذرات در نمونه‌های با نسبت‌های مولی مختلف از عامل پوششی (شکل ۴ ث) نیز این روند را تایید می‌کند.

شکل ۴-الف ریختار نانوذرات سنتز شده بدون استفاده از عامل پوششی را دمبلی شکل نشان می‌دهد. نانوذرات کروی بدست آمده به دلیل بالابودن انرژی سطح، طی کلسینه به هم جوش خورده و ذرات دمبلی شکل را تولید می‌کنند. نسبت مولی ۱:۱ از عامل پوششی منجر به تشکیل نانو ذرات مکعبی می‌شود. در این نسبت، مولکول‌های ال-آلائین انرژی سطح را کنترل کرده و منجر به تغییر ریختار نانو ذرات می‌گردند. با افزایش نسبت مولی ال-آلائین و افزایش احتمال زنجیره‌ای شدن مولکول‌های ال-آلائین، ریختار نانوذرات به سمت شکل‌های کروی پیش می‌رود.

برداشت

نانوذرات $KTiOPO_4$ با استفاده از عامل پوششی ال-آلائین و به روش هم رسوی سنتز شدند. استفاده از عامل پوششی ال-آلائین منجر به چرخش شبکه بلوری شد. نسبت مولی ۳:۱ از عامل پوششی کمترین کرنش وارد بر شبکه بلوری را در نانوذرات سنتز شده نشان داد. به جز نسبت مولی ۱:۱ از عامل پوششی، بطور کلی استفاده از ال-آلائین به عنوان عامل پوششی منجر به کاهش اندازه دانه، اندازه ذره و افزایش یکنواختی توزیع اندازه ذرات شد. ریختار نانوذرات بدست آمده بدون استفاده از عامل پوششی دمبلی شکل و برای نمونه‌های با نسبت ۱:۱ مکعبی بود. با افزایش نسبت عامل پوششی، ریختار نانوذرات به سمت شکل‌های کروی تمایل یافت.

structure and nonlinear optical properties", Solid State Sciences; 38 (2014) 42e48

[18] Bindu P., Thomas S., "Estimation of lattice strain in ZnO nanoparticles: X-Ray peak profile analysis", J Theor Appl Phys; (2014) 8:123-134

[19] Gharibshahian E., Jafar Tafershi M., Fazli M., "Effects of solution concentration and capping agents on the properties of potassium titanyl phosphate nanoparticles synthesized using a co-precipitation method", Journal of Physics and Chemistry of Solids; 116 (2018) 241–249

[20] Ganesh Moorthy, Ph.D.Thesis; Anna University;1998

[21] Anitha P., Munganantham N., "Growth and characterization of L-alanine crystals using FT-IR, UV-Visible spectra", Journal of Service Research ;3(2014) 51–56

[22] Azhang S. A.C., Ganesan S., "Effect of zinc acetate addition on crystal growth, structural, optical, thermal properties of glycine single crystal, Arabian Journal of Chemistry; 10 (2017) S2615,10 pages

[23] Sigaev V.N., Pernice P., Depero L.E, Aronne A., Bontempi E., Akimova O.V., Fanelli E., *J. Eur. Ceram. Soc.* ; 24(2004)1949-1952

precipitation method", J. Phys. Chem. Solids;(2018)116: 241-249

[12] Alaei M., Rashidi A. M., Bakhtiari I., "Preparation of High Surface Area ZrO₂ Nanoparticles", IJCCE ,No. 2(2014)33: 47-53

[13] Harish K., Manisha and Poonam S., "Synthesis and Characterization of MnO₂ Nanoparticles using Co-Precipitation Technique", IJCCE; No. 3;(2013) 3 : 155-160

[14] Raquel Serrano-Garcí', Finn Purcell-Milton, Sarah McCarthy, Yurii K. Gun'ko, "Synthesis and Magnetic Properties of L-Alanine Capped CoFe₂O₄ Nanoparticles", Chemistry Select ;(2018) 3, 4726 – 4729

[15] Talebi R., "Effect of amino acids as capping agent on the size and morphology of pure TmVO₄ nanoparticles and their photocatalyst properties", J Mater Sci: Mater Electron; DOI 10.1007/s10854-016-5648-1

[16] Indubala E., Dhanasekar M., Sudha V., Padma Malar E.J., Divya P., Jositta Sherine, Revathy Rajagopal, Venkataprasad Bhat S., Harinipriya S., "L-Alanine capping of ZnO nanorods: increased carrier concentration in ZnO/CuI heterojunction diode", RSC Adv.(2018) 8, 5350–5361

[17] Talwatkar S.S., Tamgadge Y.S., Sunatkari A.L., Gambhire A.B., Muley G.G., "Amino acids (L-arginine and L-alanine) passivated CdS nanoparticles: Synthesis of spherical hierarchical